

Welkom bij werksessie 3:

Verklaren en voorspellen van bodemdaling

LOSS symposium, 5 November 2021



Doel werksessie 3



*Informeren over
mechanismen in
ondiepe
bodemdalings*



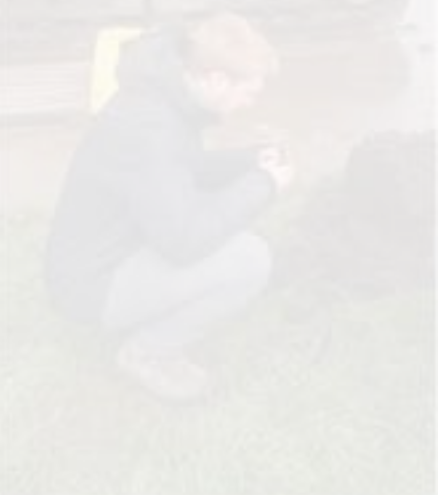
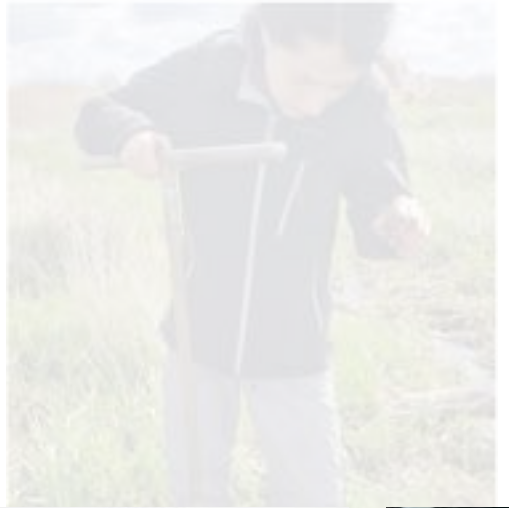
Communiceren



Tijdschema Werksessie 3



14:20-14:25	Introductie en kennismaking
14:25-14:40	Processen & Mechanismen
14:40- 15:05	Discussie
15:05-15:10	Korte pauze
15:10-15:30	Dubbel interview (tennis)
15:30-15:40	Consultatie & poster sessie
15:40-15:45	Conclusie en afronding





Inhoud presentatie

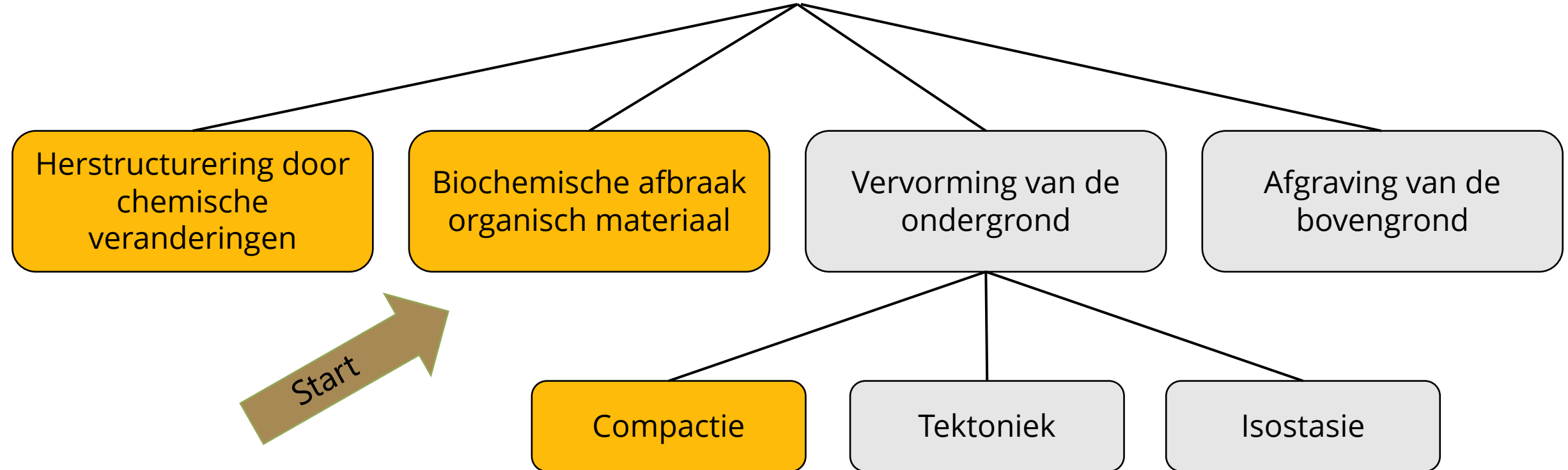
- Bodemdaling mechanismen
- Materialen en eigenschappen
- Integratie en voorspellen

Veen

Veen
& Klei

Klei

BODEMDALING



Biochemische afbraak organisch materiaal

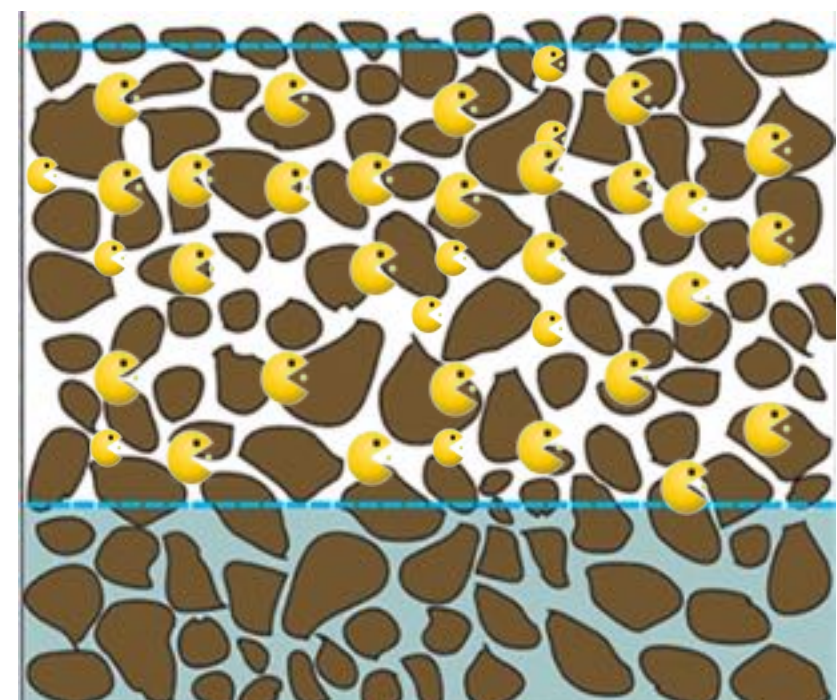
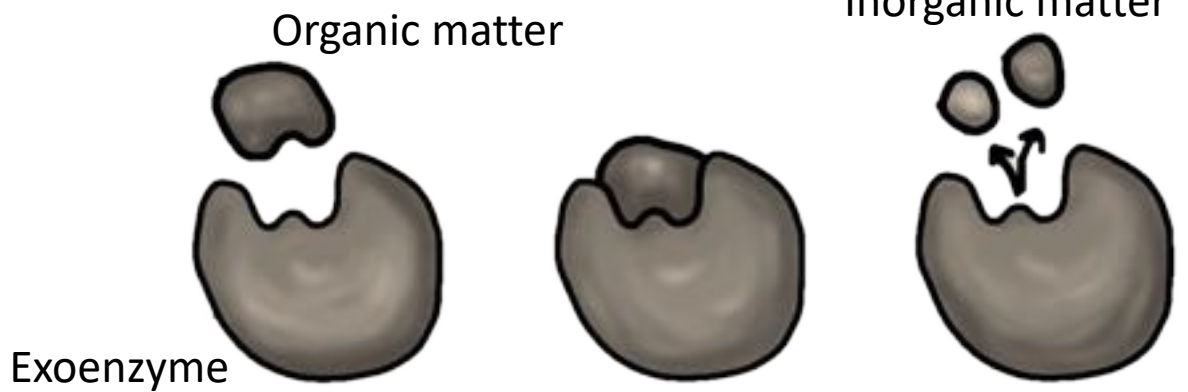
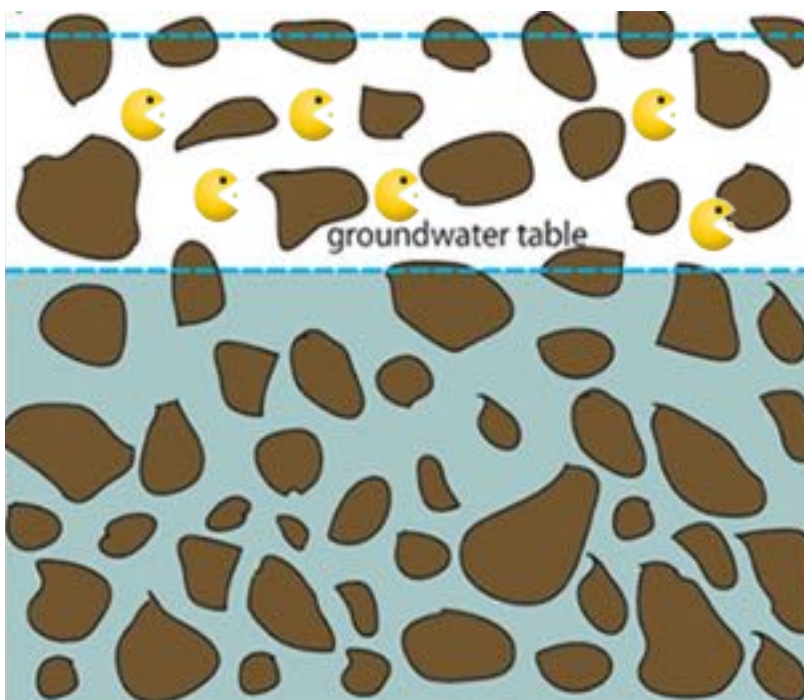
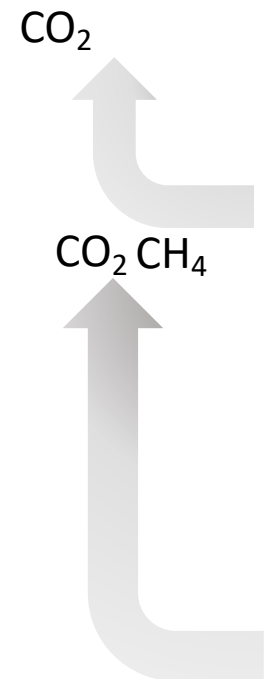


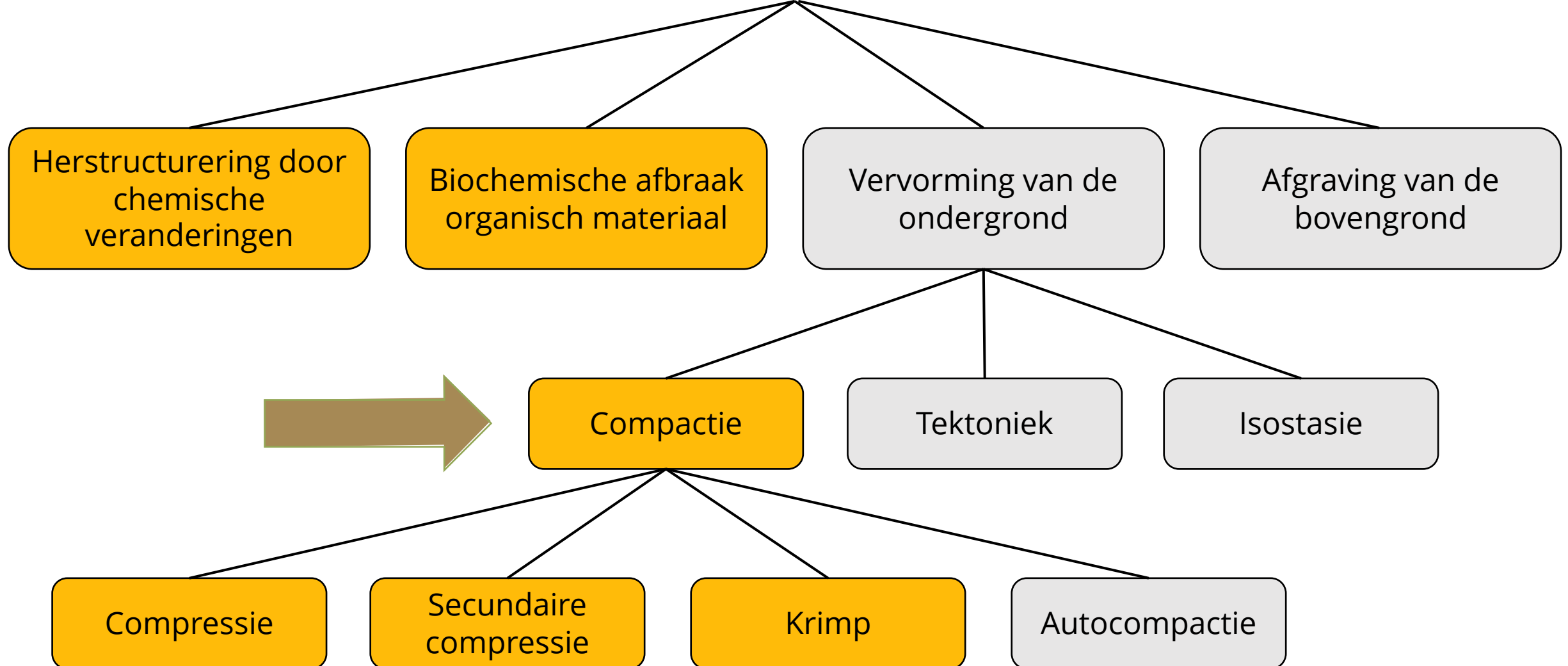
Figure 5. Microbial activity with higher and lower water table (revised from Ahmad et al 2020)²

House of Cards

12500 playing cards



BODEMDALING



Compactie



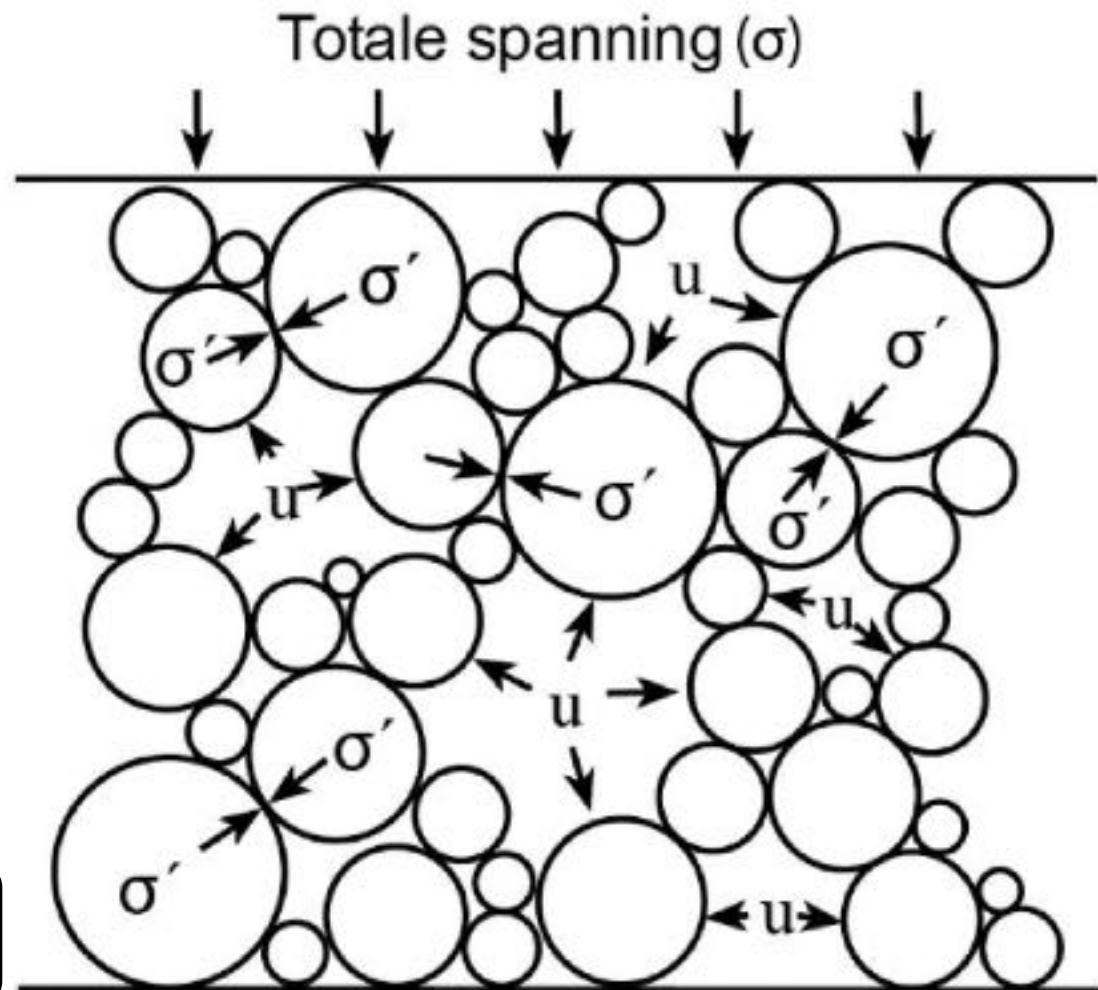
$$\sigma' = \sigma - \mu$$

Effectieve spanning =
totale spanning - waterspanning

Compressie

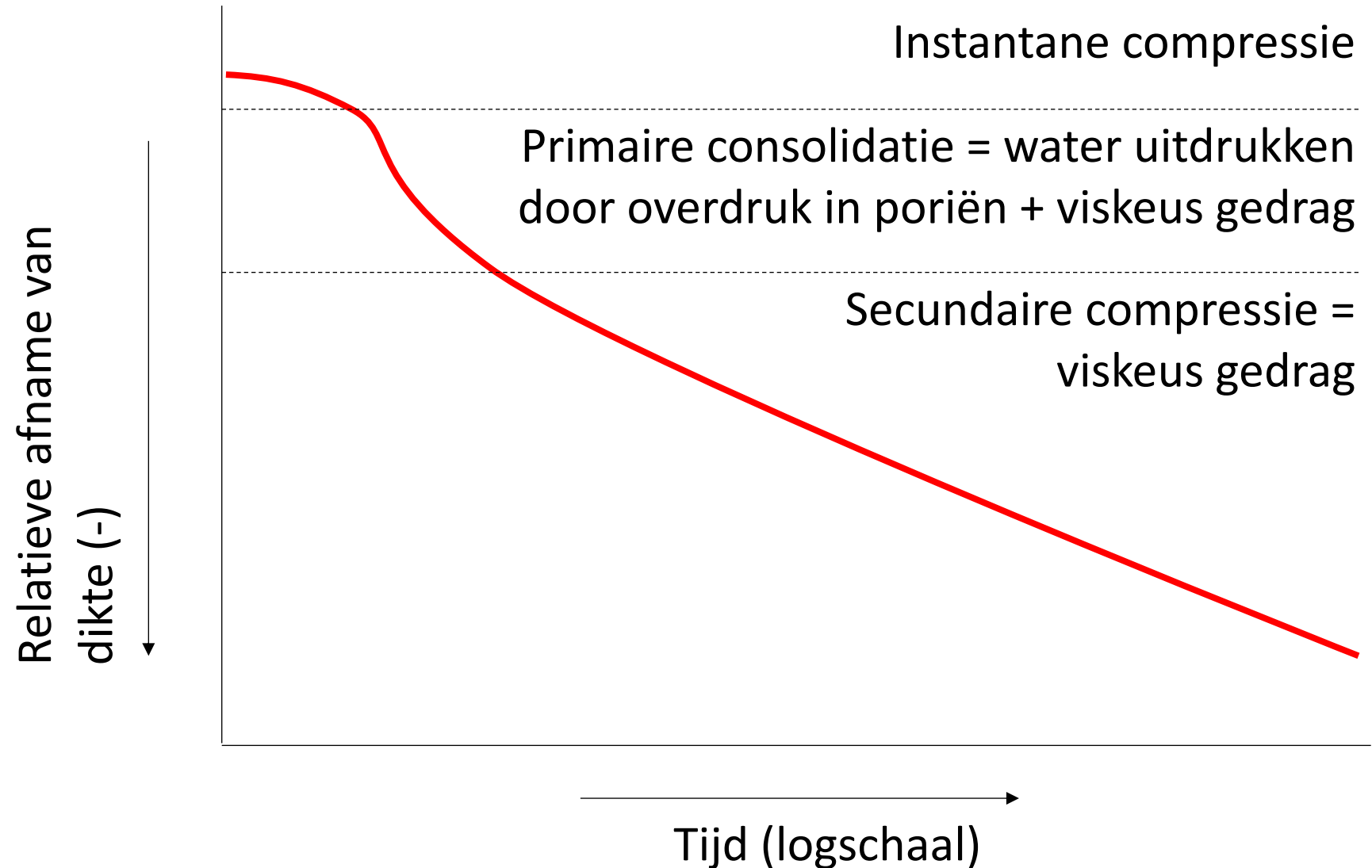
Secundaire
compressie

Krimp



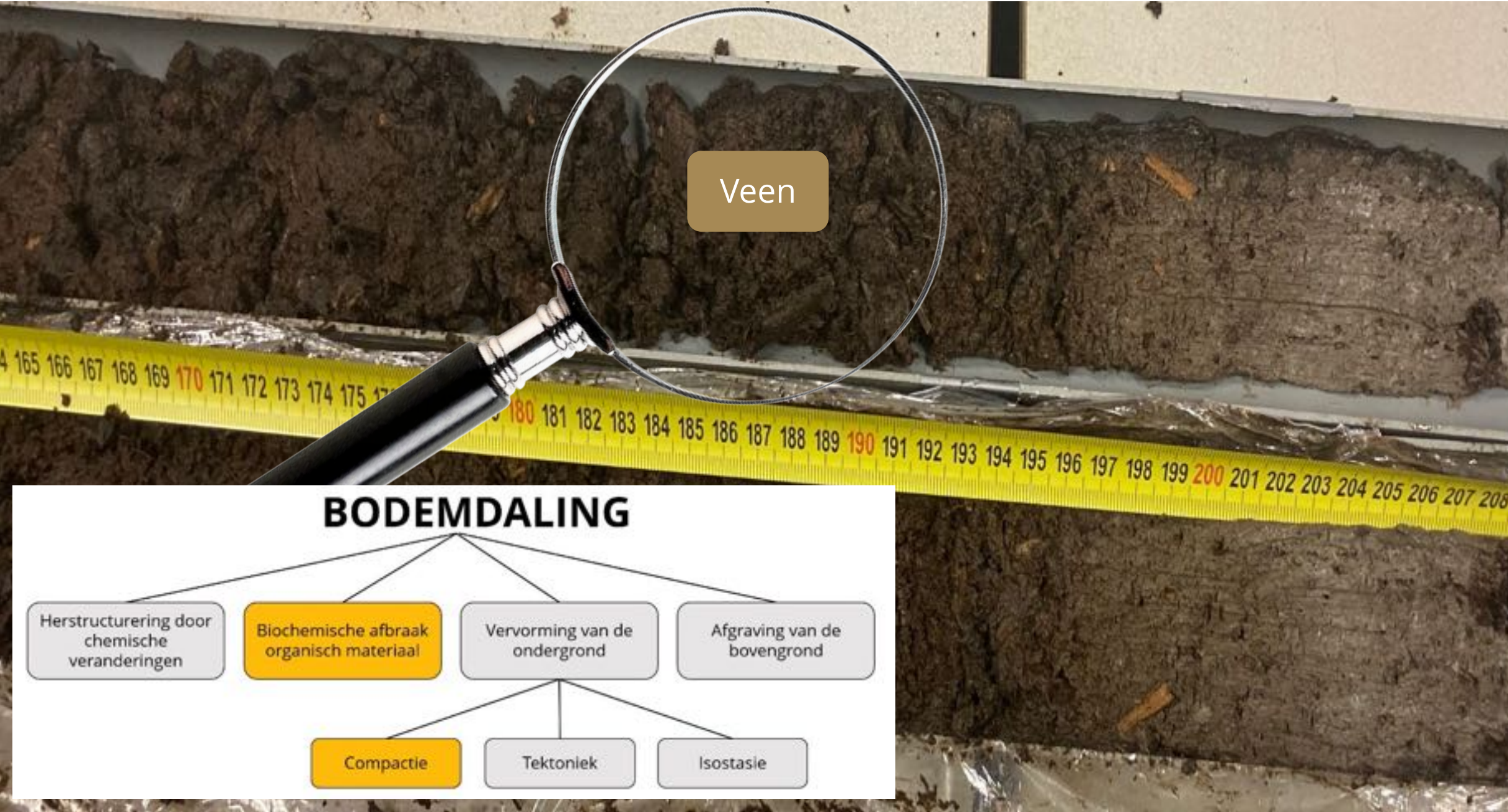
Bron: Van Asselen, 2010

Compressie





LOSS
Living on Soft Soils
Subsidence & Society



Veen

BODEMDALING



Bodemdaling in Veen

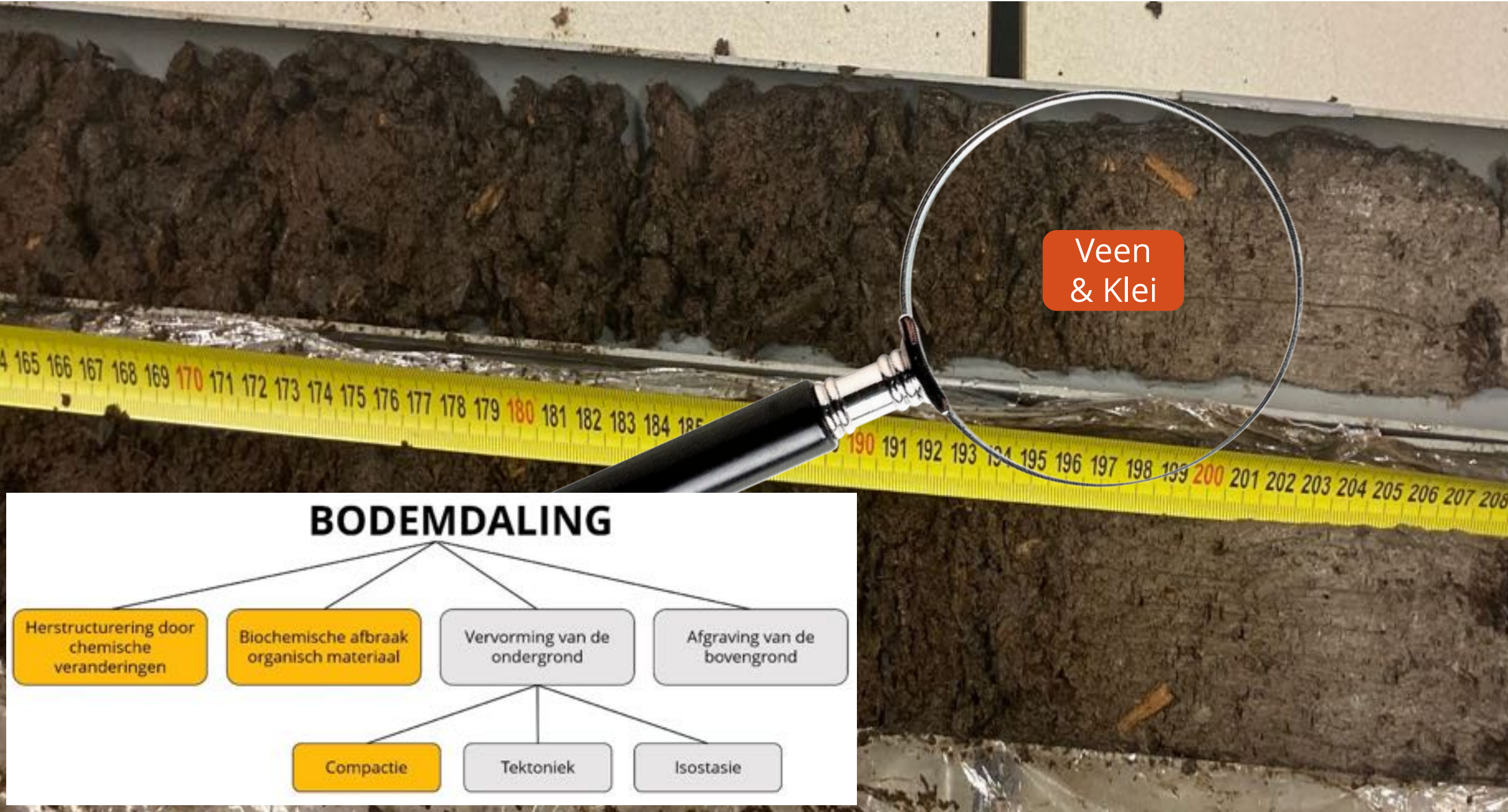
- Oxidatie organisch materiaal
 - Aerobe afbraak
 - Anaerobe afbraak
- Compactie
 - Compressie
 - Secundaire compressie
 - Krimp-zwel



Vlist







Veen
& Klei

BODEMDALING

Herstructurering door
chemische
veranderingen

Biochemische afbraak
organisch materiaal

Vervorming van de
ondergrond

Afgraving van de
bovengrond

Compactie

Tektoniek

Isostasie

Veen+klei



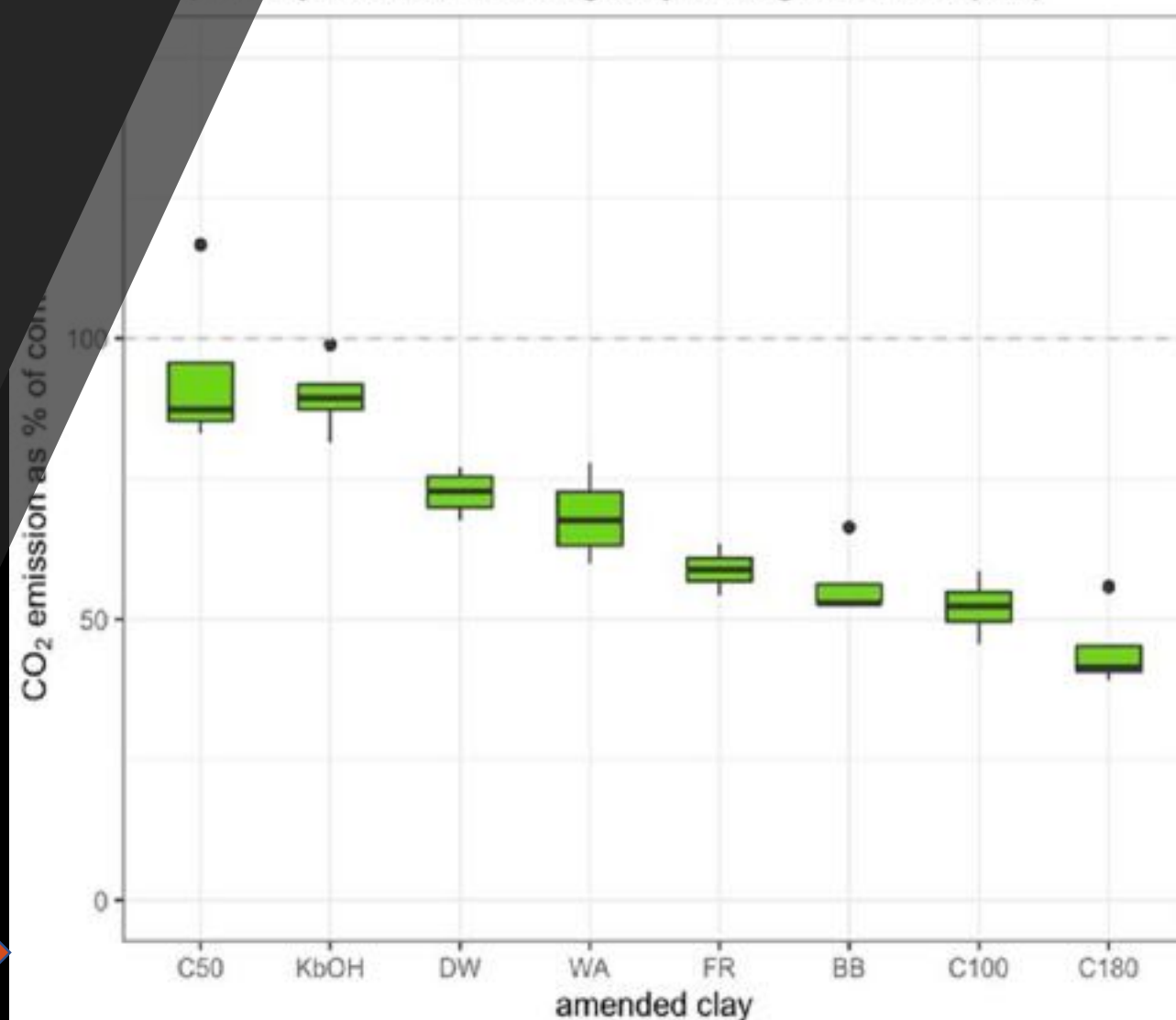
van Agtmaal &
Keuskamp, unpubl.

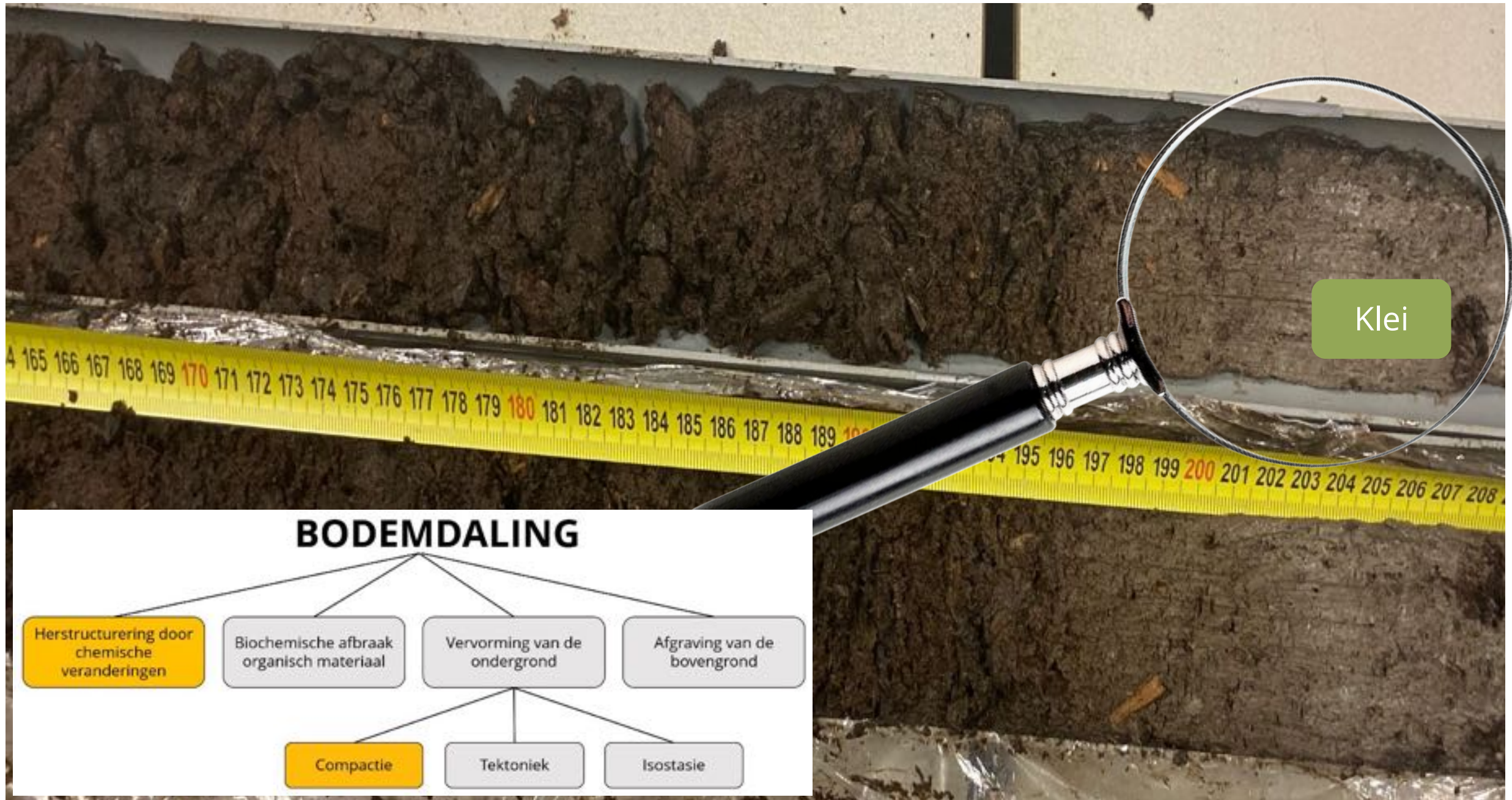
- Oxidatie organisch materiaal
- Organominerale complexvorming
- aggregaatvorming
- Verminderde zuurstofdiffusie
- Binding enzymen
- Chemische veranderingen

- Compactie
- Krimp-zwel dynamiek

Klei additie aan veen kan CO₂ emissies reduceren

Inspiratory effects of mixing clay in Zegveld Peat (t8)





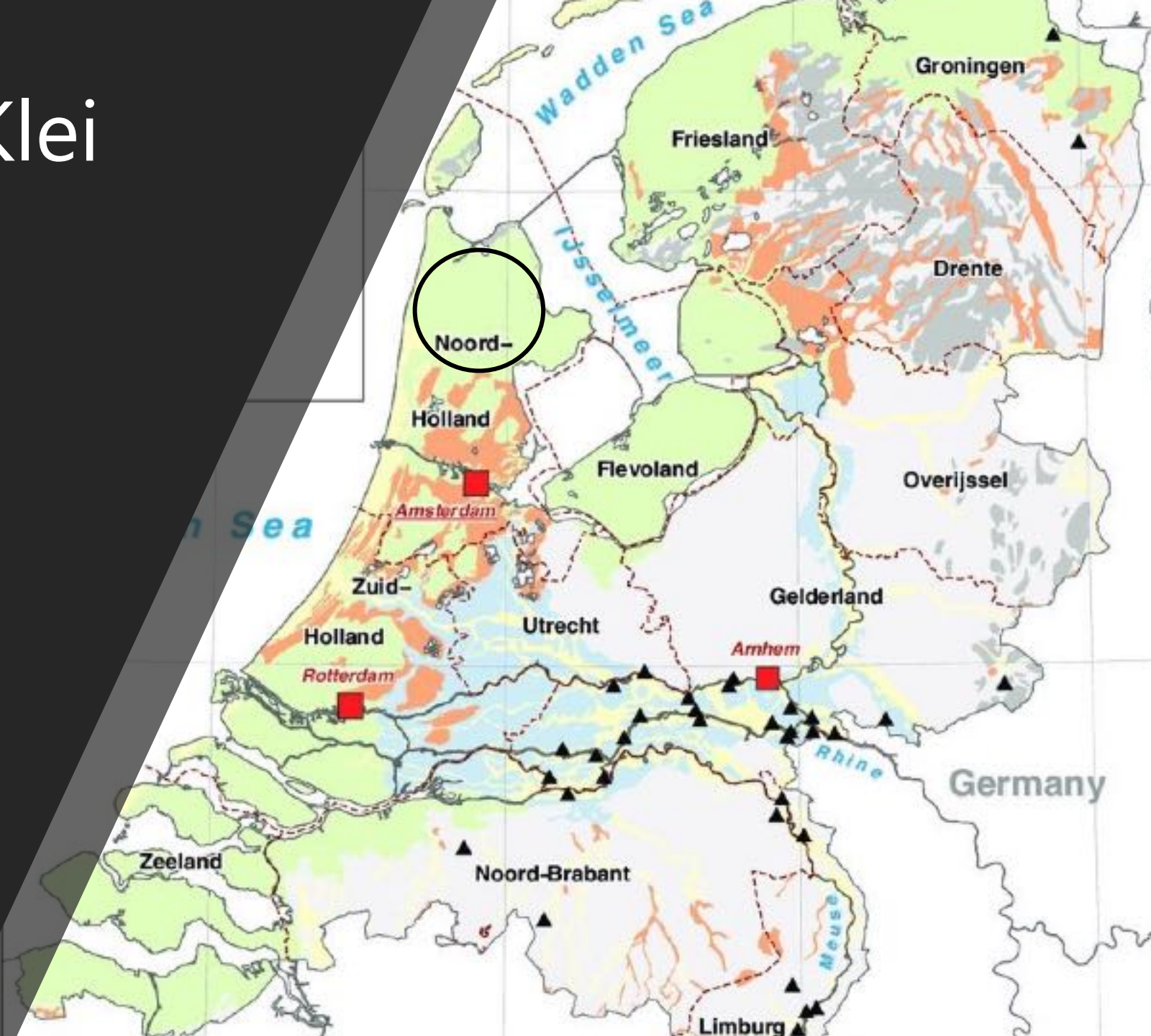
Bodemdaling in Klei

Compactie

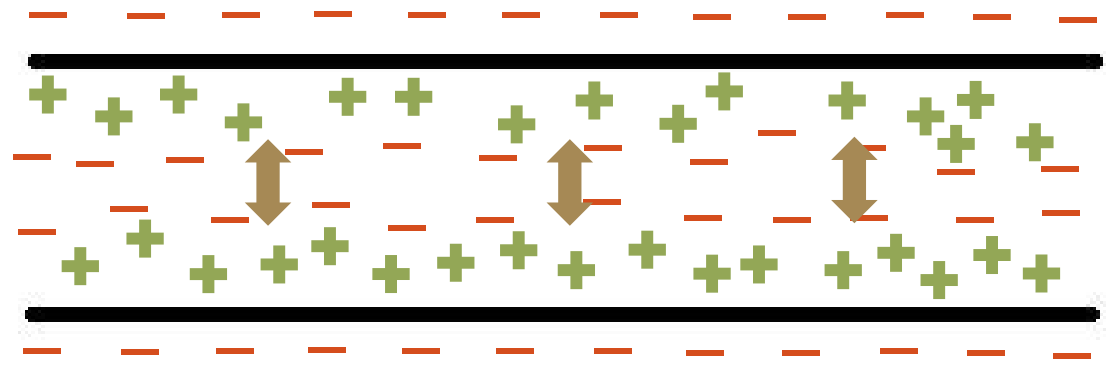
- Compressie
- Secundaire compressie
- Krimp-zwel

Chemische veranderingen

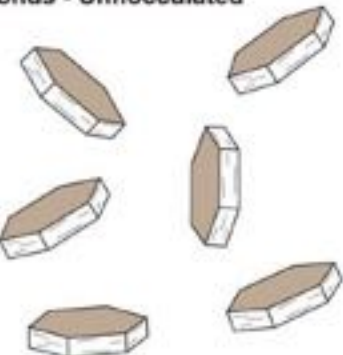
- Ionengehalte poriewater



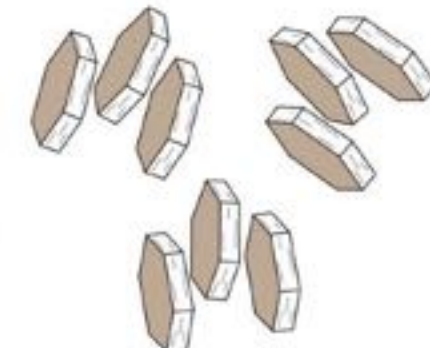
Herstructureren door chemische veranderingen



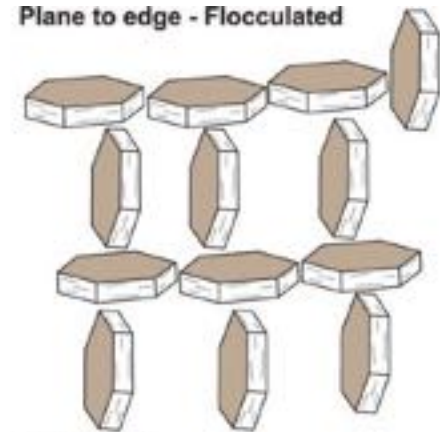
No bonds - Unflocculated



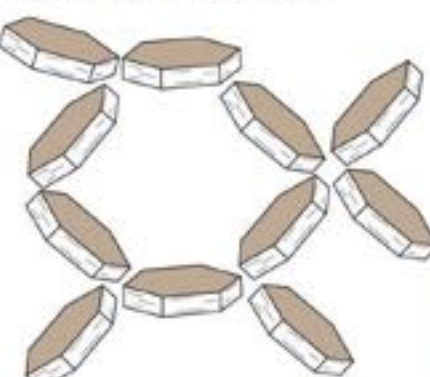
Plane to plane - Unflocculated



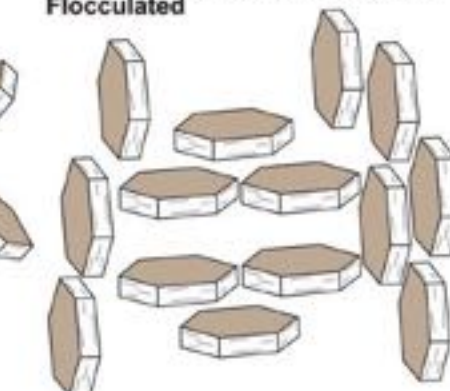
Plane to edge - Flocculated



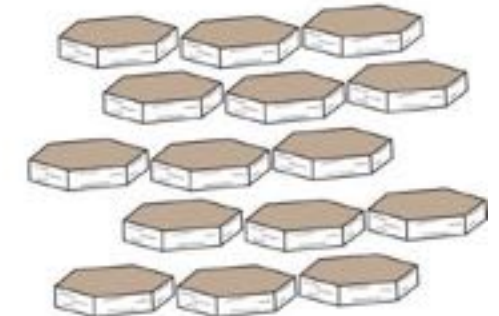
Edge to edge - Flocculated

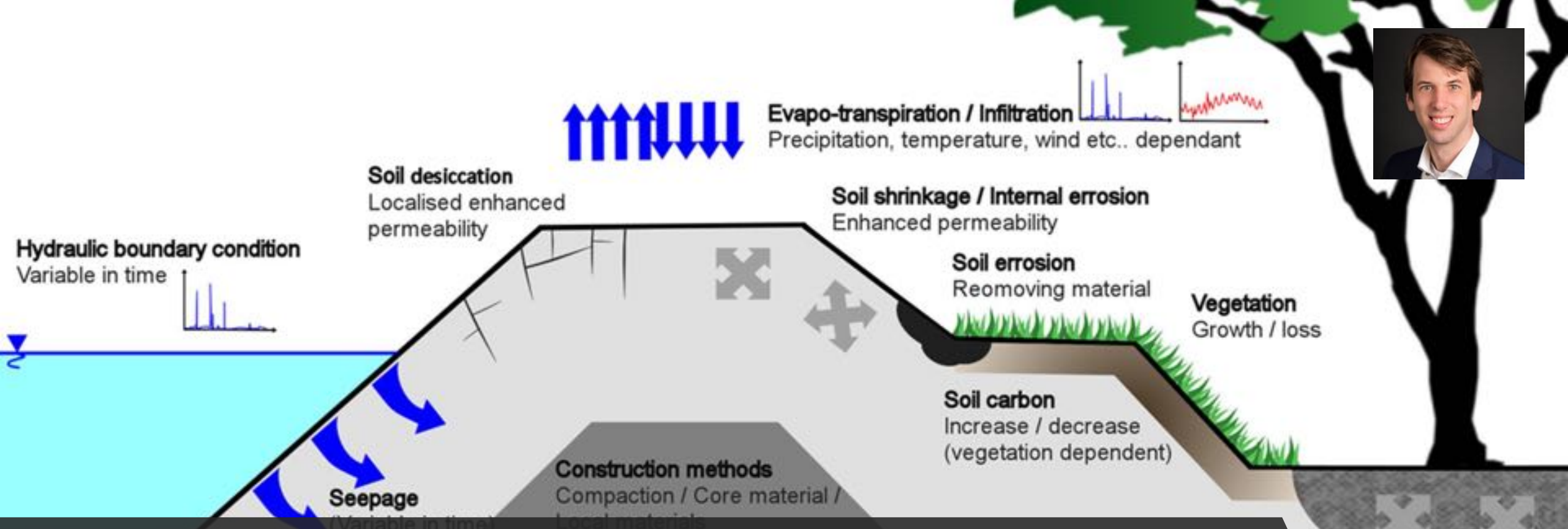


Plane to plane and plane to edge-
Flocculated



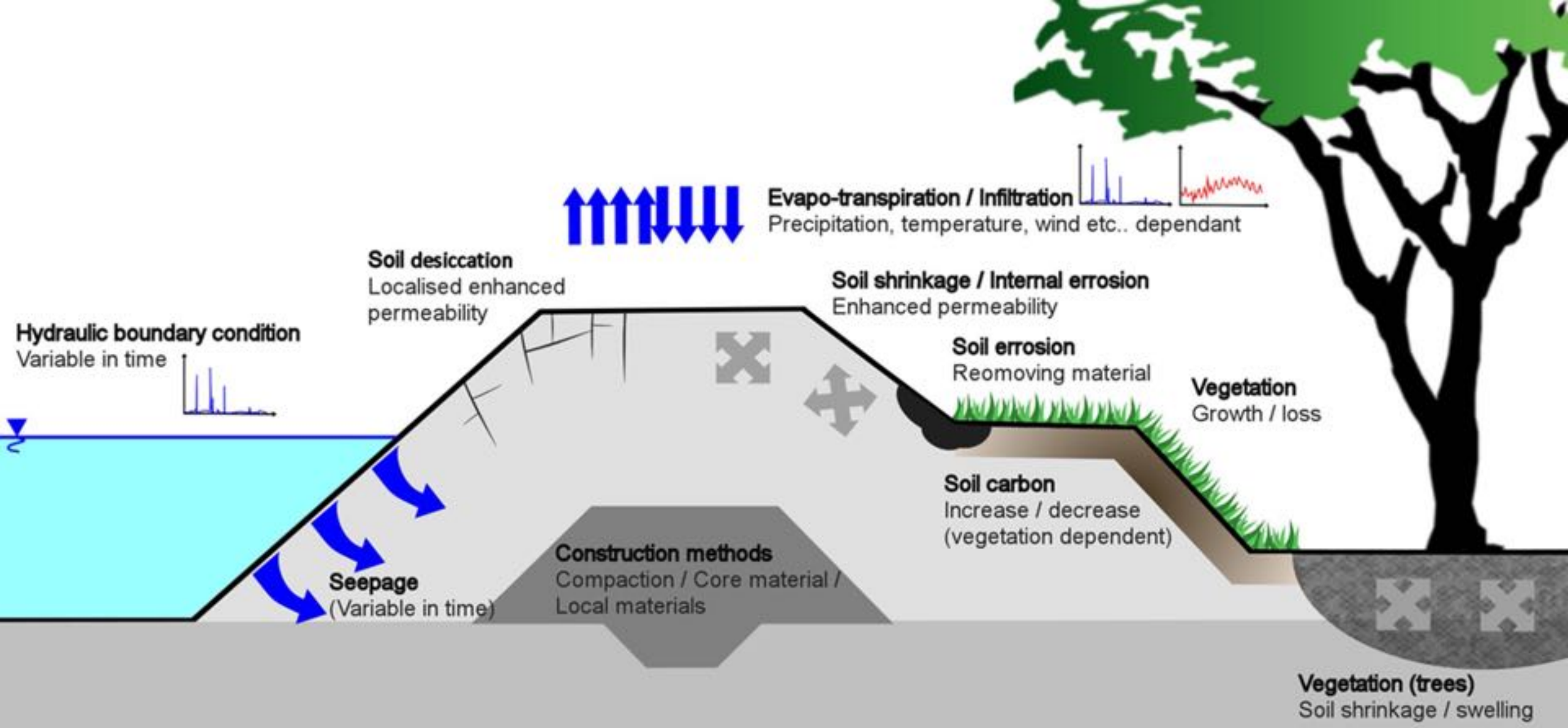
Dispersed





Integratie

- 1D model gebaseerd op rijping
- uitbreiden met multiple layers
- Toevoegen (bio-)chemical processen



Referenties

- van Asselen, S., Kooi, H., van den Akker, J.J.H. (2020). Deltafact bodemdaling 2020 STOWA
- Ahmad, S., Liu, H., Günther, A., Couwenberg, J., & Lennartz, B. (2020). Long-term rewetting of degraded peatlands restores hydrological buffer function. *Science of the Total Environment*, 749, 141571.
- van Asselen, S. (2010). *Peat compaction in deltas. Implications for Holocene delta evolution.* Netherlands Geographical Studies 395.
- van der Meulen, M. J., van der Spek, A. J., de Lange, G., Gruijters, S. H., van Gessel, S. F., Nguyen, B. L. & van der Krogt, R. A. (2007). Regional Sediment Deficits in the Dutch Lowlands: Implications for Long-Term Land-Use Options (8 pp). *Journal of Soils and Sediments*, 7(1), 9-16.
- Giles, D.P., (2020) Geological Society, London, Engineering Geology Special Publications, 29, 205-221, 9 June 2020, <https://doi.org/10.1144/EGSP29.7>
- Vardon, P. J. (2015). "Climatic influence on geotechnical infrastructure: a review." Environmental Geotechnics 2(3): 166-174.

Process	Chemical reaction	ΔG° (kJ m C ⁻¹) ^b
Aerobic respiration	$C_6H_{12}O_6 + 6O_2 \rightarrow 6CO_2 + 6H_2O$	-471
Organotrophic denitrification	$5C_6H_{12}O_6 + 24NO_3^- \rightarrow 12N_2 + 24HCO_3^- + 6CO_2 + 18H_2O$	-444
Organotrophic manganese reduction	$C_6H_{12}O_6 + 18CO_2 + 6H_2O + 12\delta-MnO_2 \rightarrow 12Mn^{2+} + 24HCO_3^-$	-397
Organotrophic iron reduction	$C_6H_{12}O_6 + 42CO_2 + 24Fe(OH)_3 \rightarrow 24Fe^{2+} + 48HCO_3^- + 18H_2O$	-131
Sulfate reduction	$2C_6H_{12}O_6 + 6SO_4^{2-} \rightarrow 6H_2S + 12HCO_3^-$	-76
Methanogenesis	$2C_6H_{12}O_6 \rightarrow 6CH_4 + 6CO_2$	-49